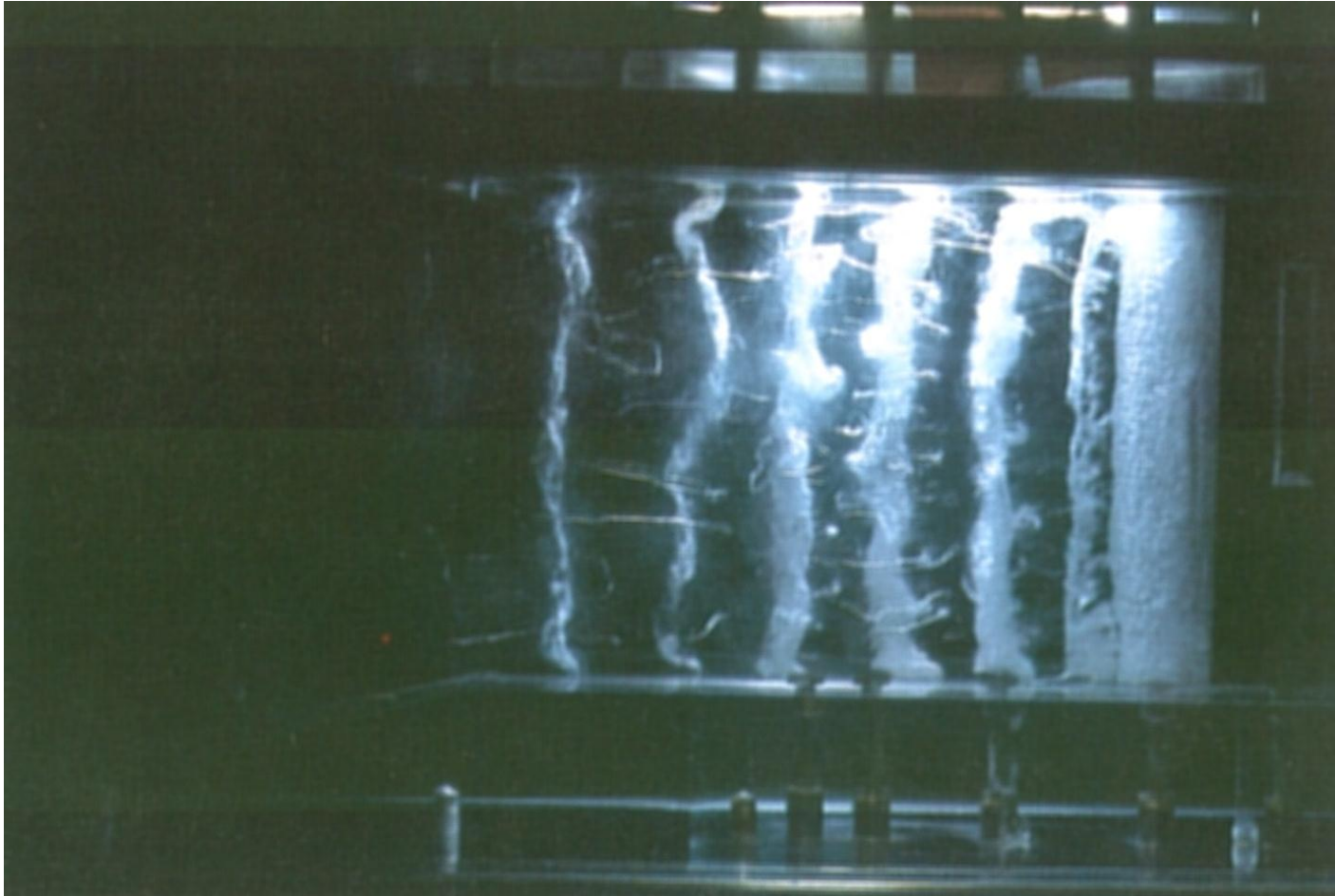
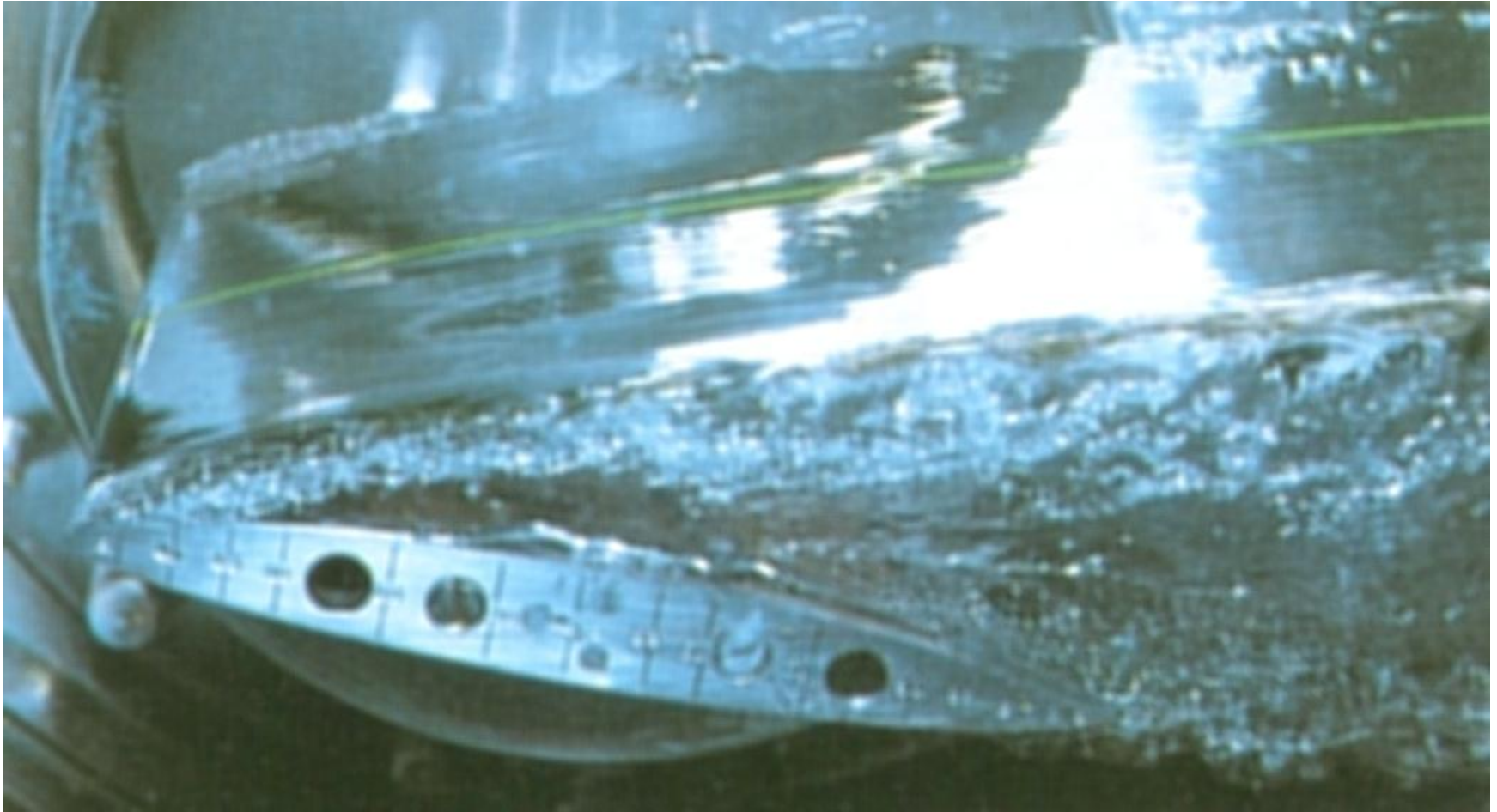


1.3 Formen der Kavitation (6/16)



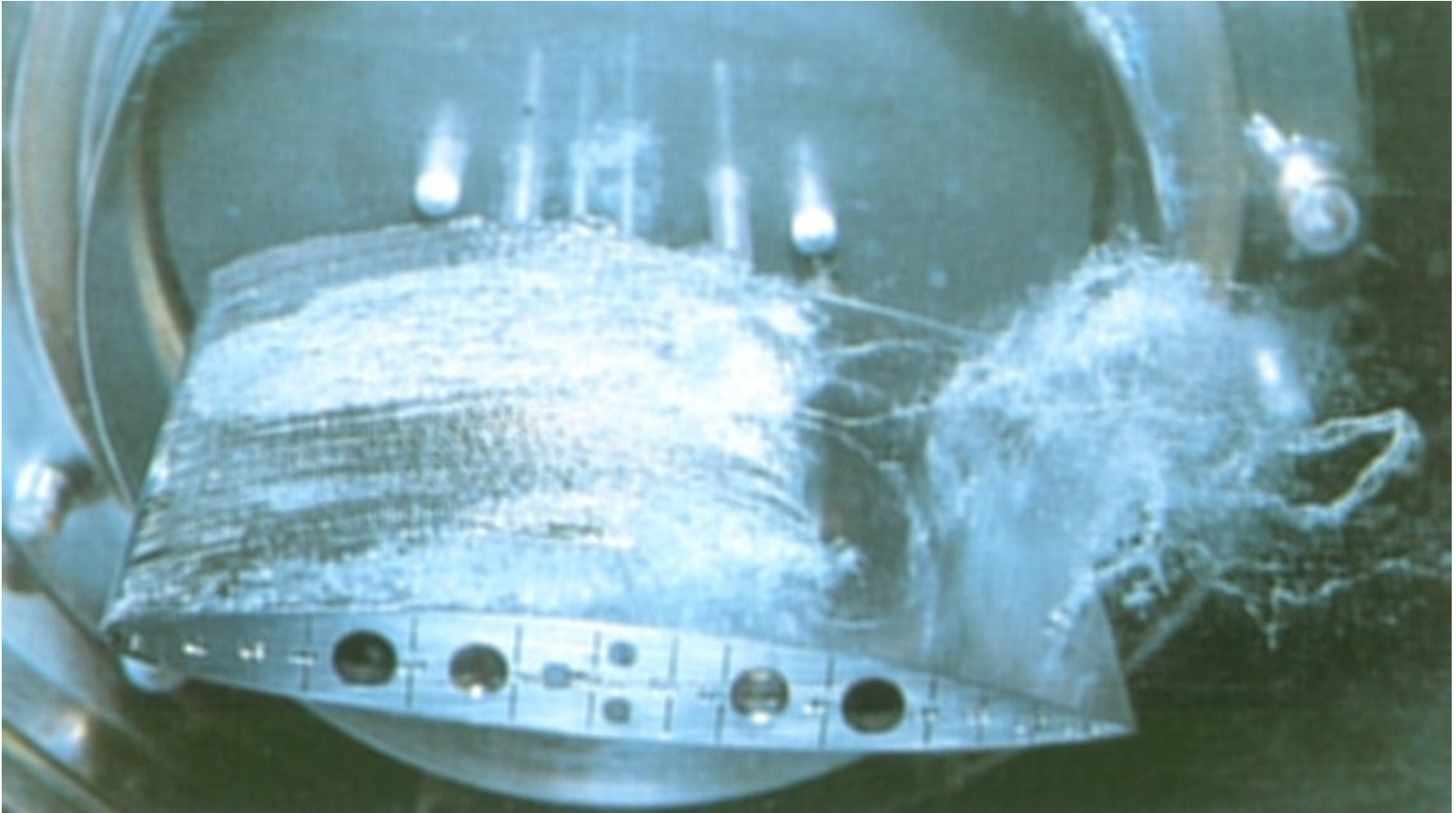
Wirbelkavitation in einer Scherschicht

1.3 Formen der Kavitation (7/12)



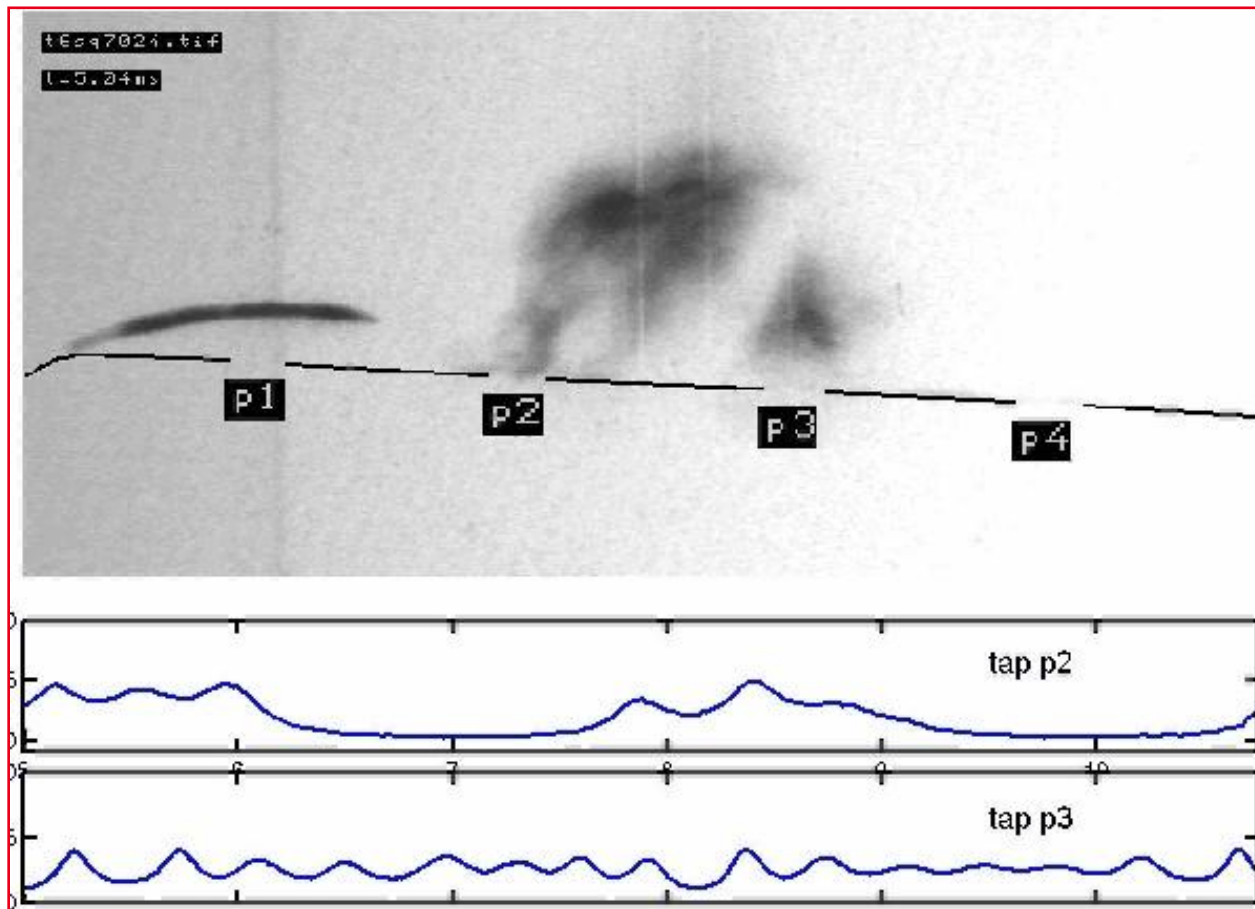
Superkavitation

1.3 Formen der Kavitation (8/16)



Instationäre Wolkenkavitation

1.3 Formen der Kavitation (9/16)



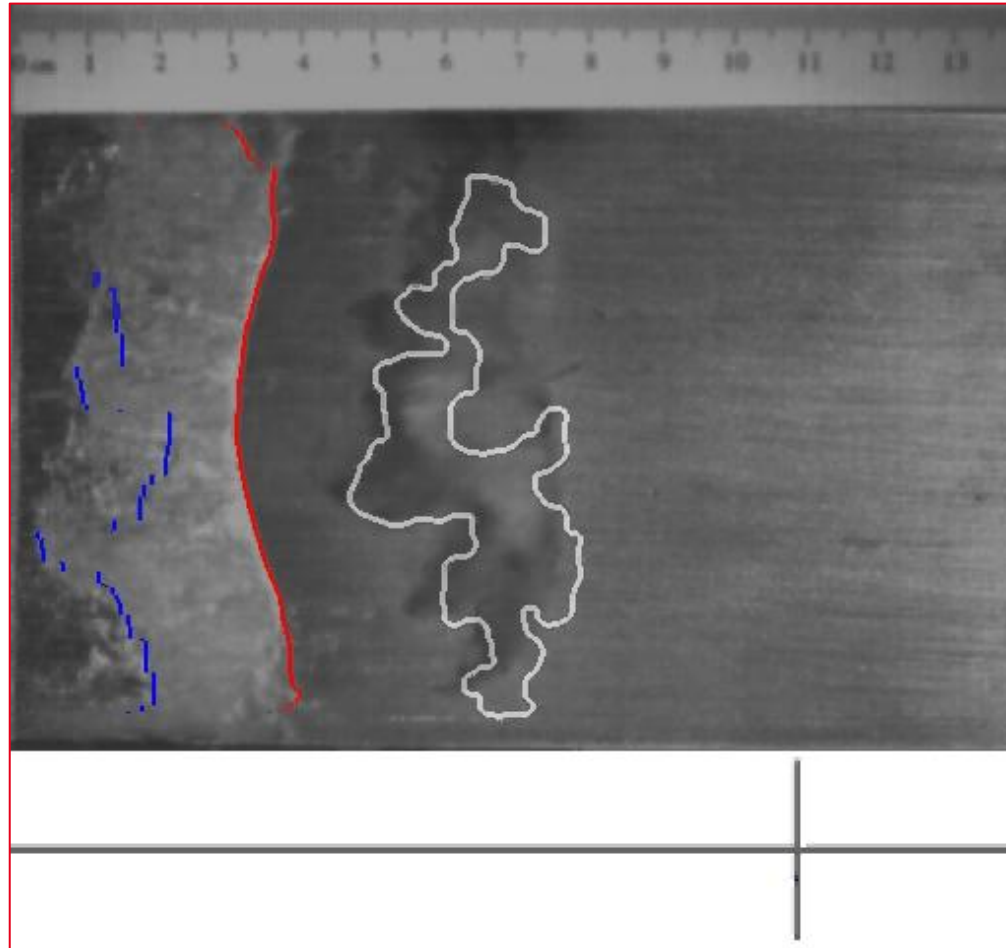
Instationäre Wolkenkavitation

1.3 Formen der Kavitation (10/16)



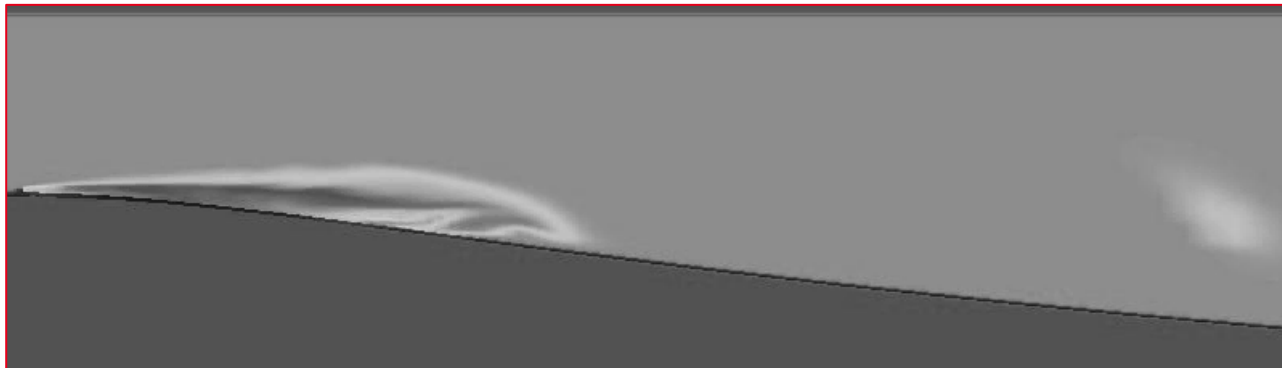
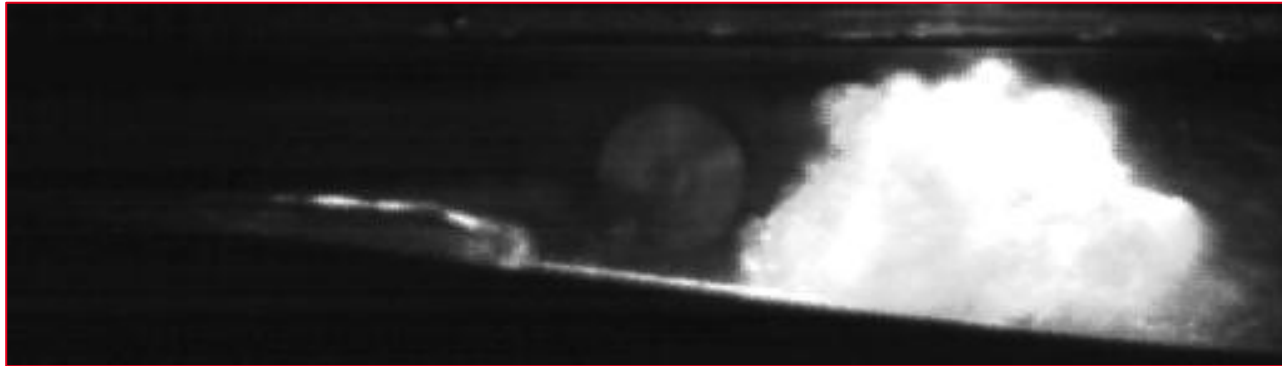
Instationäre Wolkenkavitation

1.3 Formen der Kavitation (11/16)



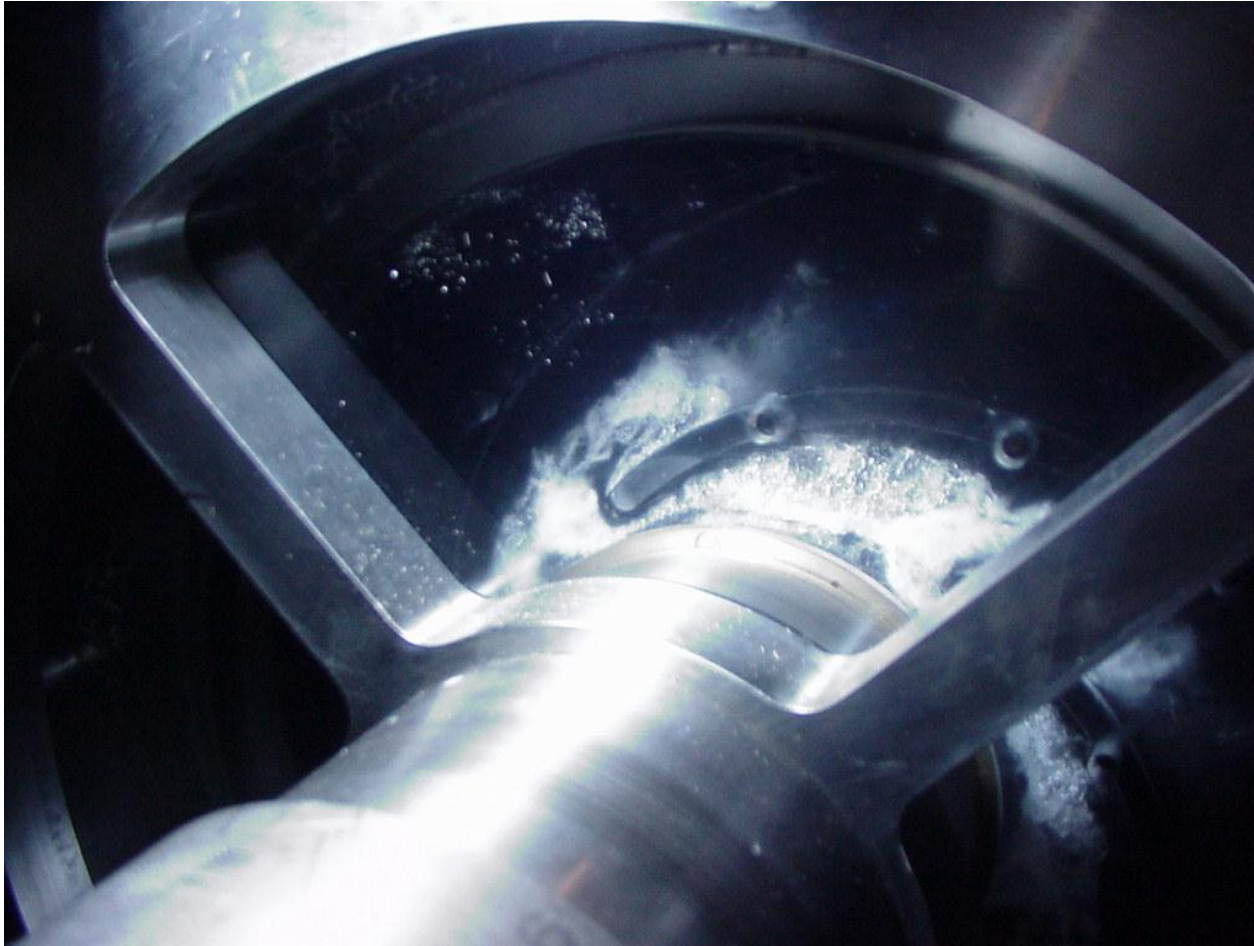
Instationäre Wolkenkavitation - Konturerkennung

1.3 Formen der Kavitation (12/16)



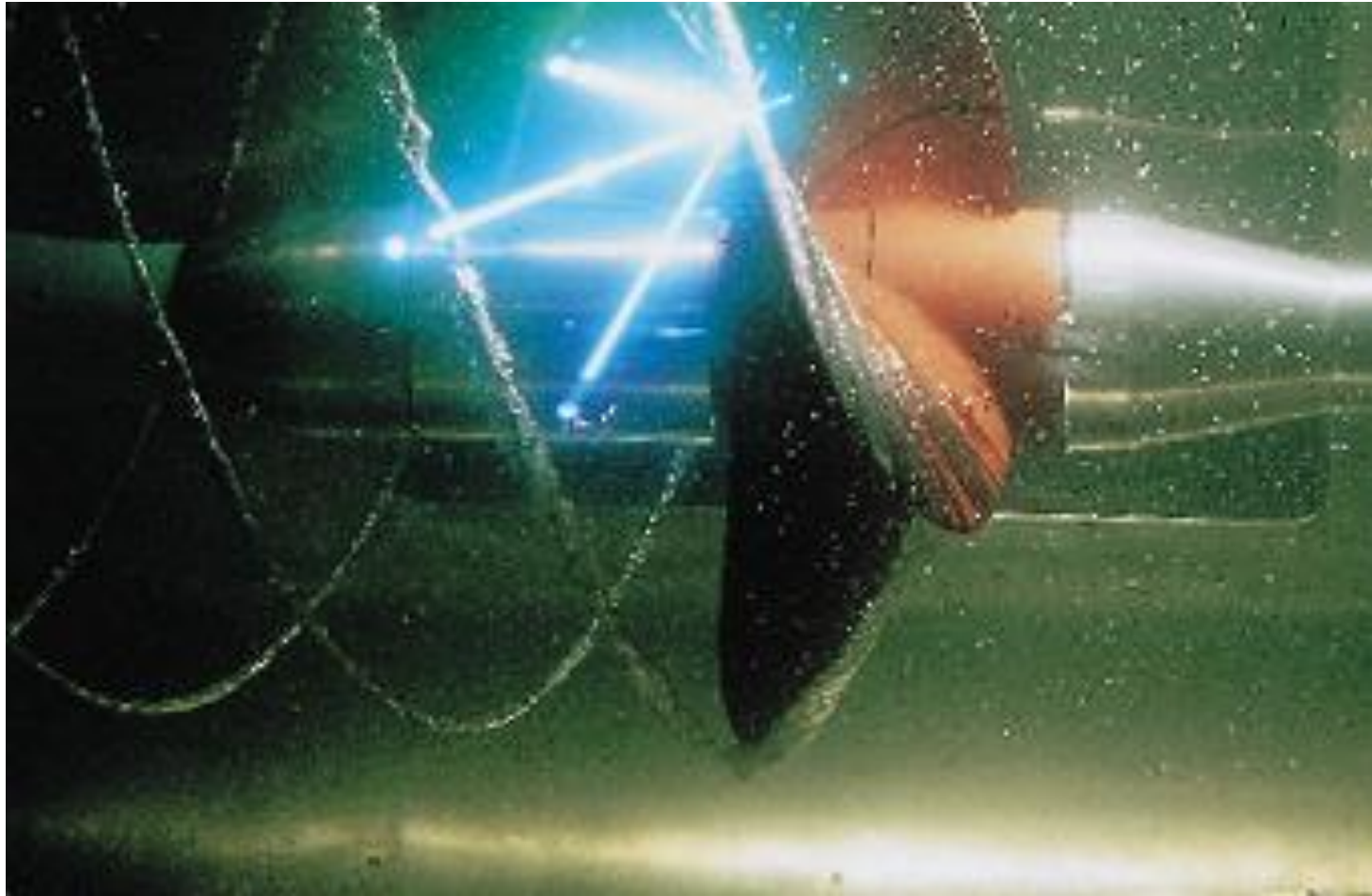
Instationäre Wolkenkavitation - Vergleich Messung/Rechnung

1.3 Formen der Kavitation (13/16)



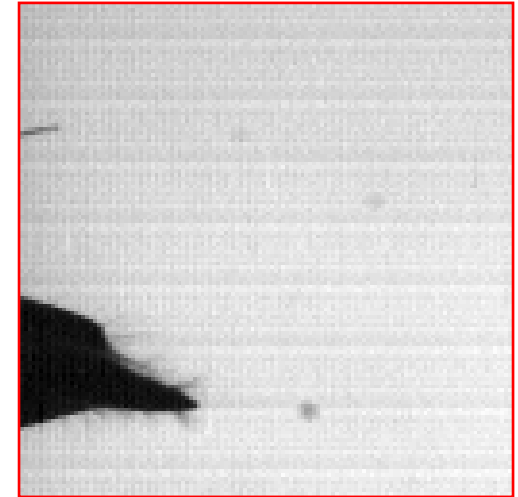
Kavitation in einem Pumpenlaufrad

1.3 Formen der Kavitation (14/16)



Spitzenwirbelkavitation an einem Schiffspropeller

1.3 Formen der Kavitation (15/16)



Snapping Shrimp



1.3 Formen der Kavitation (16/16)



[Einzelblasenkollaps in Wandnähe \(Movie I\)](#)

[Einzelblasenkollaps in Wandnähe \(Movie II\)](#)

[Kavitation am CLE-Profil - Seitenansicht \(Movie\)](#)

[Kavitation am CLE-Profil - Draufsicht \(Movie\)](#)

[Druckseitenkavitation an einer Axialpumpenschaufel \(Movie\)](#)

[Saugseitenkavitation an einer Axialpumpenschaufel \(Movie\)](#)

[Spaltkavitation an einer Axialpumpenschaufel \(Movie\)](#)

[Gepfeiltes CLE-Profil mit Druckmessbohrungen](#)

[Kavitation am 25° gepfeilten CLE-Profil -Draufsicht \(Movie\)](#)

[PIV/LIF Anwendung am 15° gepfeilten CLE-Profil \(Movie\)](#)

[PIV/LIF Anwendung am 15° gepfeilten CLE-Profil - Einzelbilder](#)

[PIV/LIF Anwendung am 15° gepfeilten CLE-Profil - Mittelung](#)

[Statistische Bildauswertung am 25° gepfeilten CLE-Profil](#)

[Formen der Kavitation & Beispiele für Zugspannungsfestigkeitseinfluss](#)

1.3 Gepfeiltes CLE-Profil mit Druckmessbohrungen



Kavitation am 15° gepfeilten CLE-Profi

Einzelbilder

